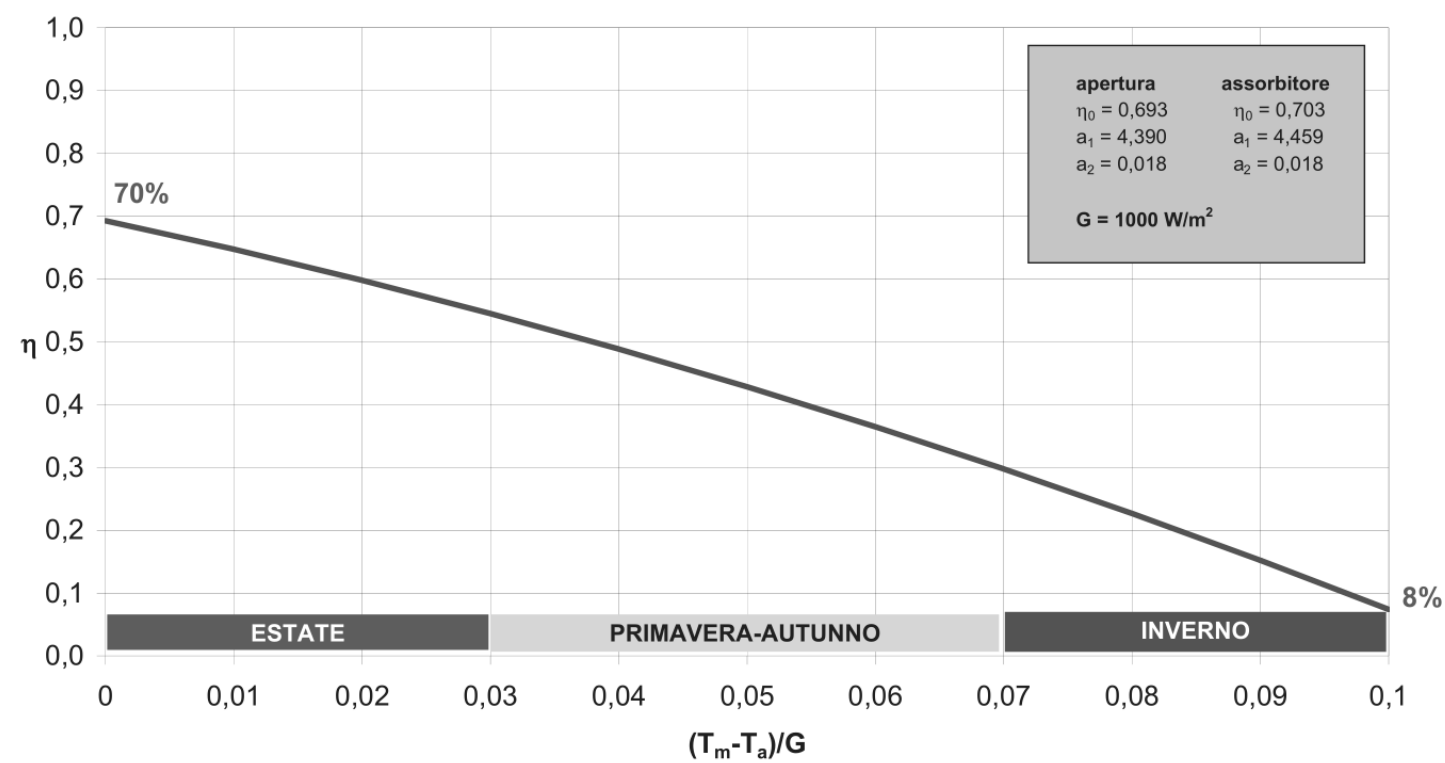
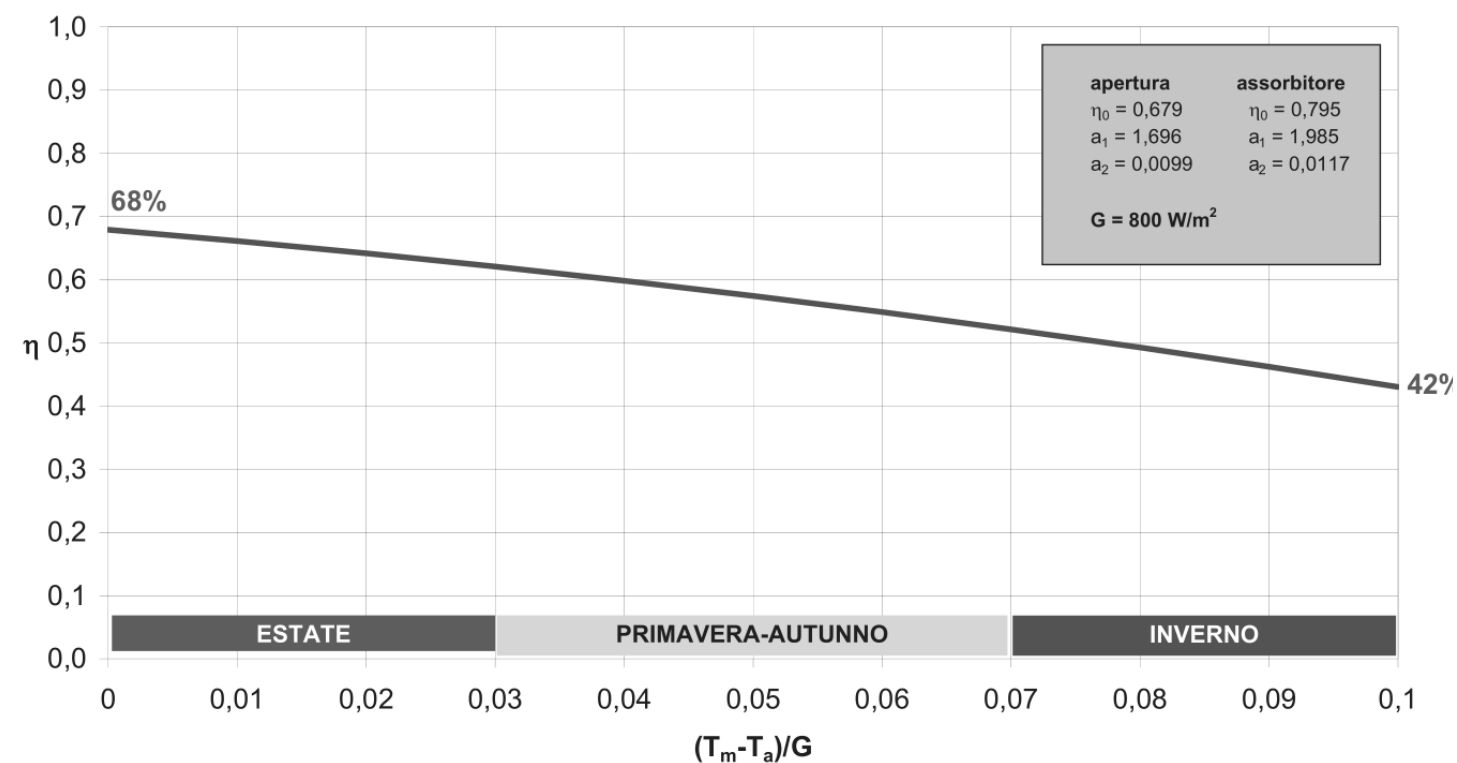


## Confronto fra collettore solare piano e collettore a tubi sottovuoto



MODELLO		CR110	CR120
CODICE		0618048	0630021
Superficie lorda	m <sup>2</sup>	2,7	2,80
Superficie apertura	m <sup>2</sup>	2,15	2,56
Superficie assorbimento	m <sup>2</sup>	2,15	2,56
Dimensioni (L x H x P)	mm	1070 x 2170 x 90	1270 x 2180 x 90
Peso a vuoto	Kg	36	39
Contenuto di fluido	l	1,30	1,53
Materiale cassa		acciaio zincato verniciato a polveri	
Risalite in rame Ø 8 mm		7	8
Trattamento selettivante		Selective Paint	
Fattore di assorbimento	%	90	
Fattore di emissione	%	45	
Attacchi laterali		4 attacchi filettati 3/4" F	
Vetro prismatico temprato spessore	mm	3,2	
Isolamento termico collettore		schiuma poliuretanicca 23 mm	
Pressione massima di esercizio	bar	10	
Rendimento ottico (rif. apertura)	%	0,693	
Coefficiente trasmissione termica a <sub>1</sub> (rif. apertura)	W/m <sup>2</sup> K	4,390	
Coefficiente trasmissione termica a <sub>2</sub> (rif. apertura)	W/m <sup>2</sup> K <sup>2</sup>	0,018	
Capacità termica	kJ/K	12,501	
Fattore di correzione angolare K <sub>50°</sub>		0,87	
Perdita di pressione (a 100 l/h)	mbar	0,9	3,0
Temperatura di stagnazione	°C	170	

MODELLO		SW HP 15	SW HP 20
Dimensioni (L x H x P)	m <sup>2</sup>	1235 x 1980 x 130	1610 x 1980 x 130
Superficie apertura	m <sup>2</sup>	1,397	1,876
Superficie assorbimento	m <sup>2</sup>	1,199	1,603
Peso a vuoto	Kg	56	64,4
Contenuto di fluido	l	1	1,37
Trattamento selettivante		nitrito di alluminio	
Fattore di assorbimento	%	92	
Fattore di emissione	%	8	
Attacchi laterali		2 attacchi Cu 22 mm	
N° tubi in vetro borosilicato Ø <sub>ext</sub> 58 mm		15	20
Isolamento termico collettore		lana di roccia + schiuma poliuretanicca	
Pressione massima di esercizio	bar	12	
Rendimento ottico (rif. apertura)	%	67,9	
Coefficiente trasmissione termica a <sub>1</sub> (rif. apertura)	W/m <sup>2</sup> K	1,696	
Coefficiente trasmissione termica a <sub>2</sub> (rif. apertura)	W/m <sup>2</sup> K <sup>2</sup>	0,0099	
Capacità termica	kJ/m <sup>2</sup> K	14,09	
Temperatura di stagnazione	°C	280	